

PCC104 - Projeto e Análise de Algoritmos

Marco Antonio M. Carvalho

Departamento de Computação
Instituto de Ciências Exatas e Biológicas
Universidade Federal de Ouro Preto



1 Classe NP-Completo

- Redutibilidade em Tempo Polinomial
- Teorema de Cook

2 Reduções Entre Problemas

- $3\text{-SAT} \leq_p \text{Clique}$
- $\text{Clique} \leq_p \text{Cobertura de Vértices}$
- $\text{Ciclo Hamiltoniano} \leq_p \text{Caixeiro Viajante}$
- $\text{Cobertura de Vértices} \leq_p \text{Ciclo Hamiltoniano}$
- $3\text{-SAT} \leq_p \text{Soma de Subconjuntos}$

Fonte

Este material é baseado nos livros

- ▶ T. H. Cormen, C. E. Leiserson, R. L. Rivest, and C. Stein. *Introduction to Algorithms*. The MIT Press, 3rd edition, 2009.
- ▶ S. Halim. *Competitive Programming*. 3rd Edition, 2013.
- ▶ Ian Parberry and William Gasarch. *Problems on Algorithms*. Second Edition, 2002.
- ▶ Ian Parberry *Lecture Notes on Algorithm Analysis and Complexity Theory*. Fourth Edition, 2001.

Licença

Este material está licenciado sob a Creative Commons BY-NC-SA 4.0. Isto significa que o material pode ser compartilhado e adaptado, desde que seja atribuído o devido crédito, que o material não seja utilizado de forma comercial e que o material resultante seja distribuído de acordo com a mesma licença.

Definição Informal

Informalmente, se um problema está na classe NP-Completo, ele está em NP e é “tão difícil” quanto qualquer problema em NP.

Os problemas da classe NPC possuem uma estreita relação entre si, de modo que se um deles for resolvido em tempo polinomial, todos o serão, e consequentemente, $P=NP$.

Complexidade

Existe uma forte corrente de pensamento que acredita que os problemas NP-Completo são **intratáveis**, uma vez que não existe avanço significativo na direção contrária.

Desta forma, P e NP seriam diferentes, mas não é possível concluir nada.

Em certo sentido, os problemas NP-Completo são os mais difíceis em NP.

Uma forma de comparar a dificuldade relativa entre problemas é a **reduzibilidade em tempo polinomial**.

Classe NP-Completo

Definição Formal

Um problema de **decisão** Q é NP-Completo se:

- 1 $Q \in \text{NP}$;
- 2 Q' é polinomialmente redutível a Q para todo $Q' \in \text{NP}$.

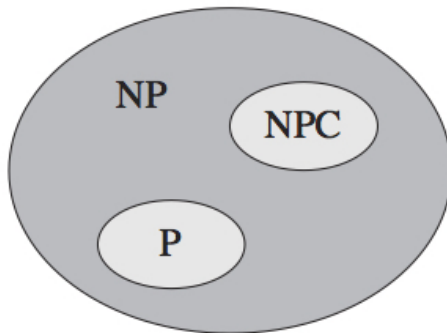
Se é descoberto um algoritmo determinístico polinomial para um problema NP-Completo, ele se torna um problema P, e de acordo com as propriedades acima, todos os outros problemas em NPC também o serão.

As pesquisas sobre P vs. NP se concentram nos problemas NP-Completo por esse motivo.

NP-Difícil

Se um problema satisfaz a propriedade 2, mas não necessariamente a propriedade 1, este pertence à classe **NP-Difícil**.

Classe NP-Completo



Uma possível relação entre P, NP e NP-Completo. P e NPC seriam contidas em NP, e $P \cap NPC = \emptyset$.

Redutibilidade em Tempo Polinomial

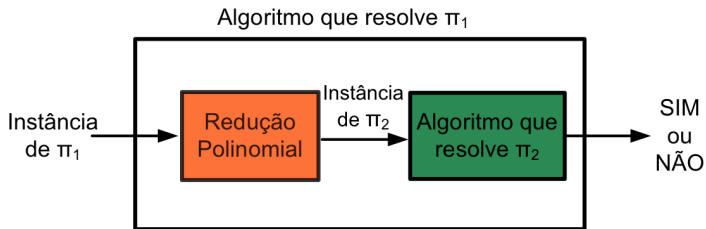
Um problema π_1 pode ser reduzido a um problema π_2 se qualquer instância de π_1 puder ser “facilmente reformulada” como uma instância de π_2 : a resposta obtida por π_2 deve ser idêntica à que seria obtida por π_1 .

O algoritmo de redução deve ser polinomial.

Se um problema π_1 é redutível a um problema π_2 , então π_1 não é mais difícil que π_2 .

Com efeito, π_2 é considerado pelo menos tão difícil quanto o π_1 , dentro de um fator polinomial.

Redutibilidade em Tempo Polinomial



Redutibilidade em Tempo Polinomial

Por exemplo, o problema de resolver uma equação linear se reduz ao problema de resolver uma equação quadrática:

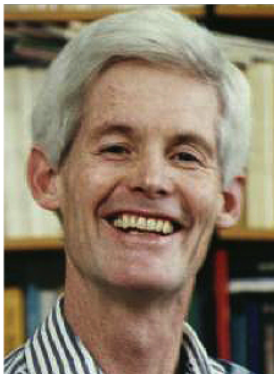
As instâncias do tipo $ax + b = 0$ são transformadas em $0x^2 + ax + b = 0$.

Quando um problema π_1 é polinomialmente reduzível a um problema π_2 denotamos por $\pi_1 \leq_p \pi_2$.

Redutibilidade e Linguagens

Os mesmos conceitos se aplicam à linguagens:

- ▶ Uma linguagem L_1 pode ser transformada em uma linguagem L_2 ;
- ▶ A redução deve ser computada por uma máquina de Turing polinomial;
- ▶ Cadeias de símbolos só pertencem a L_1 se pertencerem a L_2 ;
- ▶ Consequentemente L_1 e L_2 pertencem à mesma classe de complexidade.



Stephen Arthur Cook

- ▶ Matemático;
- ▶ Cientista da Computação;
- ▶ Professor da Universidade de Toronto;
- ▶ **Pai da Teoria da Complexidade Computacional**
 - ▶ Formalizou a noção de redução em tempo polinomial;
 - ▶ Formalizou o conceito de NP-Completo;
 - ▶ Identificou o primeiro problema NP-Completo;
 - ▶ Autor do **Teorema de Cook**.
- ▶ Pelo teorema, recebeu o Prêmio Turing em 1982.

Teorema de Cook

Definição

A definição de problemas NP-Completo é de certa forma “recursiva”. Então qual é o caso base? Qual é o problema NP-Completo original?

SAT

O Problema de Satisfabilidade Booleana (SAT) foi o primeiro problema caracterizado como NP-Completo.

Dada uma expressão lógica com n variáveis booleanas e m conectivos lógicos NOT (\neg), AND (\wedge) e OR (\vee), é necessário determinar se há uma atribuição satisfatória de valores às variáveis, ou seja, que resulte em valor 1 (ou verdadeiro).

O **Teorema de Cook** nos diz que este problema de decisão é NP-Completo.

Teorema de Cook

Histórico

O Teorema de Cook (1971) também é conhecido como Teorema de Cook-Levin, por também ser atribuído independentemente ao russo/americano Leonid Levin.

Levin publicou em 1973 um artigo que considerava problemas de busca, provando haver 6 **problemas universais** (equivalentes aos NP-Completo), embora existam menções em anos anteriores a este trabalho.

O Teorema de Cook, descrito em um artigo de pouco mais do que 7 páginas, define o primeiro problema NP-Completo: o problema de satisfabilidade booleana.

Definição

Resumidamente, Cook definiu uma linguagem L_{SAT} e também uma linguagem geral de problemas NP, reconhecida por uma Máquina de Turing não determinística polinomial genérica.

Posteriormente, foi provado que todas as linguagens L de problemas NP se reduzem a L_{SAT} , logo, a Máquina de Turing não determinística polinomial reconhece L_{SAT} .

Satisfazendo-se as propriedades exigidas, provou que SAT é o primeiro problema NP-Completo.

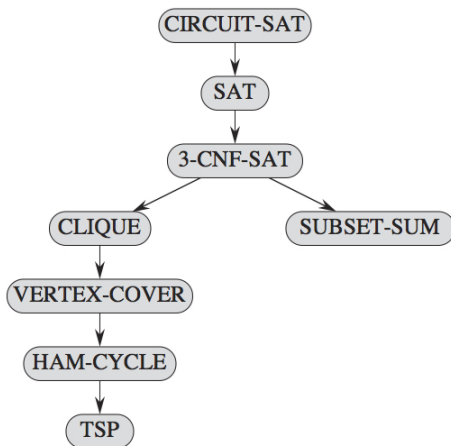


NP-Completo

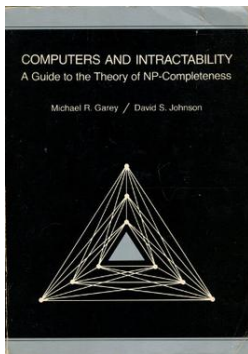
Em 1971, Richard Karp identificou os primeiros 21 problemas da classe e contribuiu para o desenvolvimento da teoria da NP-Completeness.

Posteriormente, centenas de outros problemas foram identificados por outros pesquisadores.

Teorema de Cook



Esquema da prova dos problemas NP-Completo.



O livro da capa preta

Michael R. Garey and David S. Johnson. 1979. Computers and Intractability: A Guide to the Theory of Np-Completeness. W. H. Freeman & Co., New York, NY, USA.

Foi o primeiro livro a tratar exclusivamente de NP-completude e intratabilidade computacional. Apresenta um apêndice fornecendo um compêndio exhaustivo dos problemas NP-completos.

Considerado como um clássico: em um estudo de 2006, o CiteSeer listou o livro como a referência mais citada na literatura de ciência da computação.

3-SAT

O 3-SAT é um caso especial do SAT, em que cada cláusula contém exatamente 3 literais:

Adicionalmente, a expressão está na Forma Normal Conjuntiva (CNF): agrupamentos AND de cláusulas, cada uma sendo um OR de um ou mais literais.

$$E = (x_1 \vee \neg x_2 \vee x_3) \wedge (x_1 \vee x_2 \vee x_4)$$

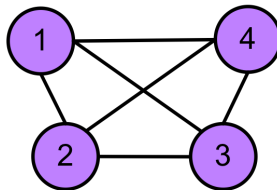
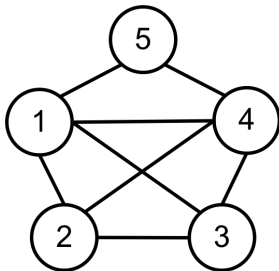
O 3-SAT é um problema NP-Completo, uma vez que $\text{SAT} \leq_p \text{3-SAT}$.

Clique

Um Clique em um grafo não orientado $G=(V, E)$ é um subgrafo completo, ou seja, cada vértice está conectado a todos os demais.

O problema de Clique Máximo consiste em detectar um clique de tamanho máximo em G .

A versão de decisão deste problema pergunta se existe um clique de tamanho k no grafo G .



Grafo G e um clique de tamanho $k = 4$ no mesmo grafo.

Verificação da Propriedade 1

Dado um grafo $G=(V, E)$, e um conjunto V' de vértices da solução, verificamos se cada par de vértices u, v de V' também pertence a V , e se a aresta $\{u, v\}$ pertence a E .

Esta verificação pode ser feita em tempo polinomial, e se de fato todos os vértices e arestas existirem, a solução é válida.

Portanto, $\text{Clique} \in \text{NP}$.

Verificação da Propriedade 2

Como vimos anteriormente, uma instância 3-SAT é uma expressão booleana ϕ em que cada cláusula possui exatamente 3 literais distintos.

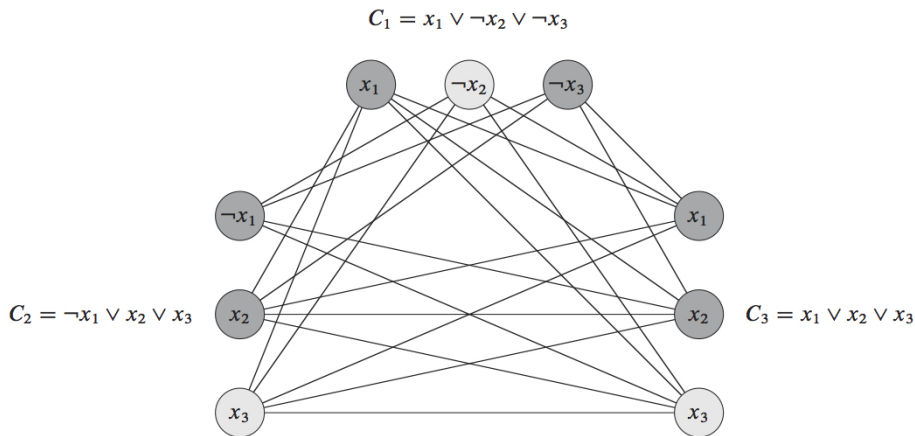
Para a redução, construímos um grafo $G=(V, E)$, tal que para cada cláusula $C_r = \{l_1^r \cup l_2^r \cup l_3^r\}$ em ϕ inserimos uma tripla de vértices v_1^r , v_2^r e v_3^r em V .

Arestas são inseridas entre dois vértices v_i^r e v_j^s de acordo com os seguintes critérios:

- ▶ v_i^r e v_j^s estão em diferentes triplas ($r \neq s$);
- ▶ Seus literais correspondentes são coerentes (i. e., l_i^r não é a negação de l_j^s).

O grafo pode ser construído em tempo polinomial.

3-SAT \leq_p Clique



Exemplo de construção do grafo.

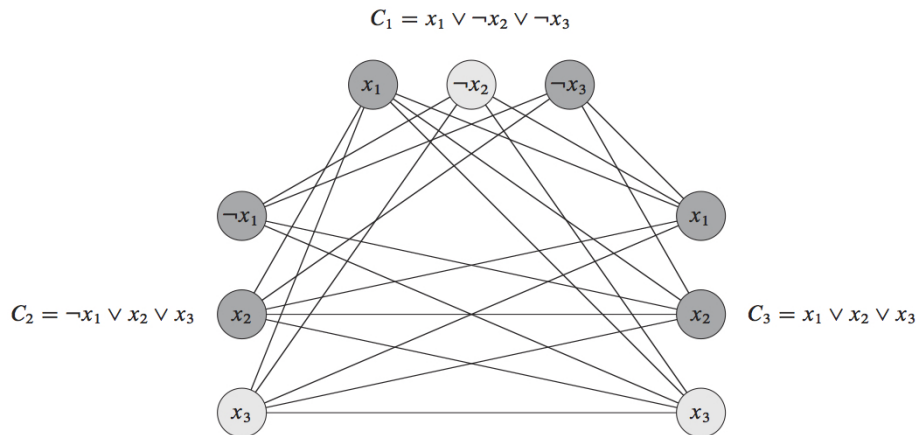
Verificação da Propriedade 2

Suponha que ϕ possui uma atribuição satisfatória: toda cláusula deve ter pelo menos um literal com valor 1 para que a atribuição seja satisfatória.

Podemos escolher o vértice “verdadeiro” de cada cláusula/tripla, pois eles serão adjacentes entre si – um literal e sua negação não são adjacentes.

Formarão um Clique, portanto.

3-SAT \leq_p Clique



Uma atribuição que satisfaz a fórmula é $x_2 = 0$, $x_3 = 1$ e x_1 pode ser 0 ou 1. O clique de tamanho 3 corresponde às variáveis principais.

Verificação da Propriedade 2

3-SAT e Clique obtêm as mesmas respostas para a mesma instância: se ϕ não possuir uma atribuição satisfatória, não haverá clique em G .

O caso do grafo apresentado é restrito, dada a sua estrutura em triplas, mas é suficiente.

Se houver um algoritmo de tempo polinomial que resolva Clique em grafos gerais, ele também resolverá em grafos restritos.

Como o algoritmo é polinomial, Clique \in NP-Completo.

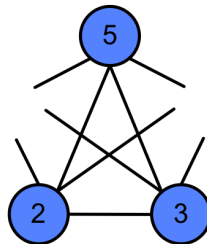
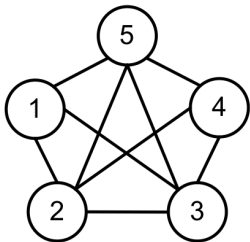
Cobertura de Vértices

Uma Cobertura de Vértices (ou Conjunto Dominante) em um grafo não orientado $G=(V, E)$ é um subconjunto V' de V tal que para cada aresta $\{u, v\}$ do grafo G , u ou v pertencem a V' .

O problema de Cobertura de Vértices Mínima (ou Conjunto Dominante Mínimo) consiste em encontrar a cobertura de vértices de um grafo que requer o menor número de vértices.

A versão de decisão do problema de cobertura de vértices pergunta se existe em um grafo G uma cobertura de vértices (ou conjunto dominante) de tamanho k .

$\text{Clique} \leq_p \text{Cobertura de Vértices}$



Grafo de exemplo e uma possível cobertura de vértices (não mínima).

Verificação da Propriedade 1

Para um grafo $G=(V, E)$, uma solução consiste em um conjunto V' de vértices e um inteiro k .

Inicialmente, conferimos se $|V'| = k$.

Posteriormente, conferimos para cada aresta $\{u, v\}$ de G , se u ou v pertencem a V' .

Caso todos os testes sejam satisfeitos, temos uma solução válida.

A verificação pode ser realizada em tempo polinomial.

Portanto, Cobertura de Vértices \in NP.

Verificação da Propriedade 2

A redução se baseia na noção de grafo complementar.

Para um grafo simples $G=(V, E)$, o seu grafo complementar é $\overline{G}=(V, \overline{E})$, em que as arestas de \overline{E} são todas as que não pertencem a E .

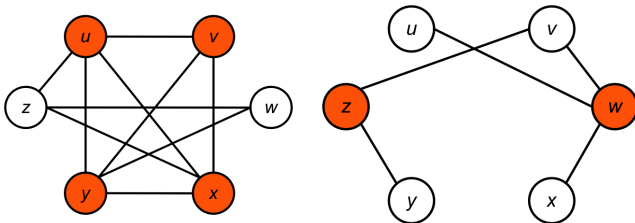
Tomamos como entrada o grafo G e a cardinalidade do clique k .

Calculamos o complemento \overline{G} .

O resultado é o grafo \overline{G} e a cardinalidade da cobertura $|V| - k$.

O grafo G tem um clique de tamanho k se e somente se o grafo \overline{G} tem uma cobertura de vértices de tamanho $|V| - k$.

$\text{Clique} \leq_p \text{Cobertura de Vértices}$



Clique V' em G e cobertura de vértices $V - V'$ em \overline{G} .

Verificação da Propriedade 2

- ▶ Todos os pares de vértices em V' são adjacentes, pois trata-se de um clique;
- ▶ Uma aresta qualquer $\{u, v\}$ pertencente a \overline{E} não pertence a E , logo, u ou v não pertencem a V' .
- ▶ Equivalentemente, pelo menos um entre u e v está em $V - V'$
 - ▶ Portanto, a aresta $\{u, v\}$ está coberta por $V - V'$.
- ▶ Todas as arestas de E são cobertas por $V - V'$, implicando em uma cobertura de tamanho $|V| - k$ em \overline{G} .

Logo, Clique e Cobertura de Vértices obtêm as mesmas respostas para a mesma instância, e desta forma, Cobertura de Vértices \in NP-Completo.

Ciclo Hamiltoniano \leq_p Caixeiro Viajante

Ciclo Hamiltoniano

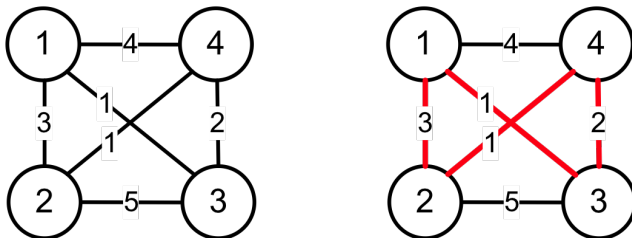
Um ciclo hamiltoniano em um grafo não ponderado $G=(V, E)$ consiste em decidir se existe um caminho fechado, ou seja, uma sequência de visitação de vértices e arestas tal que todos os vértices são visitados uma única vez e que ao final retorne ao vértice inicial.

Problema do Caixeiro Viajante

O problema do Caixeiro Viajante (PCV) em um grafo ponderado completo $G=(V, E)$ consiste em encontrar um ciclo Hamiltoniano em G tal que a soma dos pesos das arestas utilizadas seja minimizada.

A versão de decisão deste problema pergunta se existe um ciclo Hamiltoniano em G cuja soma dos pesos das arestas utilizadas seja k .

Ciclo Hamiltoniano \leq_p Caixeiro Viajante



Exemplo de instância do Problema do Caixeiro Viajante e solução correspondente.

Verificação da Propriedade 1

A solução para o problema é uma sequência de $|V|$ vértices.

A verificação determina se cada vértice foi visitado exatamente um vez e se a totalização dos pesos das arestas utilizadas é no máximo k .

A verificação pode ser realizada em tempo polinomial, portanto, Caixeiro Viajante \in NP.

Verificação da Propriedade 2

Um grafo $G=(V, E)$ é uma instância para o ciclo Hamiltoniano.

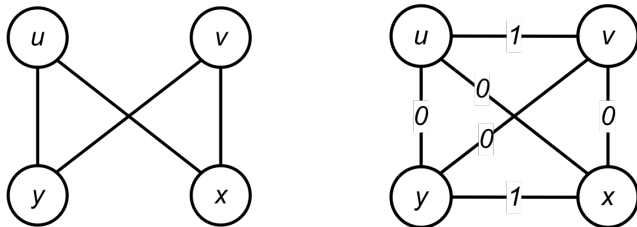
A partir dele construímos uma instância para o Caixeiro Viajante como a seguir.

Seja $G'=(V', E')$ um grafo completo, definimos a função de custo como:

- ▶ $c(i,j)=0$, se $\{i,j\} \in E$;
- ▶ $c(i,j)=1$, se $\{i,j\} \notin E$.

Como G' não é orientado e não possui laços, $c(i,i) = 1$.

Ciclo Hamiltoniano \leq_p Caixeiro Viajante



Grafo G original e grafo ponderado G' construído a partir de G .

Ciclo Hamiltoniano \leq_p Caixeiro Viajante

Verificação da Propriedade 2

A construção do grafo G' pode ser feita em tempo polinomial.

O grafo G possui um ciclo Hamiltoniano se e somente se G' possui uma viagem do caixeiro viajante com custo 0.

Suponha que G tem um ciclo Hamiltoniano, então todas as arestas do ciclo existem em G' e possuem custo 0, formando uma viagem em G' com custo 0.

Reciprocamente, se G' possui uma viagem com custo zero, as respectivas arestas existem em G , formando um ciclo.

Ciclo Hamiltoniano e Caixeiro Viajante obtêm as mesmas respostas para a mesma instância.

Logo, o Problema do Caixeiro Viajante \in NP-Completo.

Dúvidas?



Definição

O 3-SAT é um caso especial do SAT, em que cada cláusula contém exatamente 3 literais.

Adicionalmente, a expressão está na Forma Normal Conjuntiva (CNF): agrupamentos AND de cláusulas, cada uma sendo um OR de um ou mais literais.

$$E = (x_1 \vee \neg x_2 \vee x_3) \wedge (x_1 \vee x_2 \vee x_4)$$

O 3-SAT é um problema NP-Completo, uma vez que $\text{SAT} \leq_p \text{3-SAT}$.

Verificação da Propriedade 1

A solução consiste no conjunto de valores a serem atribuídos às variáveis.

Para verificar uma solução para o 3-SAT, simplesmente substituímos as variáveis pelos valores dados na solução e avaliamos o resultado, o que pode ser feito em tempo polinomial.

Se a atribuição é satisfatória, a solução é válida, portanto, $3\text{-SAT} \in \text{NP}$.

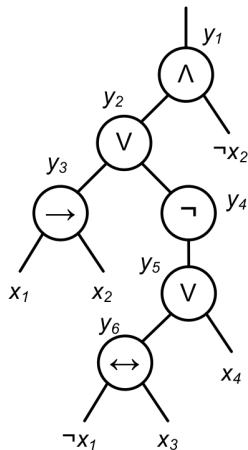
Verificação da Propriedade 2

A redução é feita em três etapas: progressivamente, cada passo transforma a entrada ϕ , deixando-a próxima da 3-CNF.

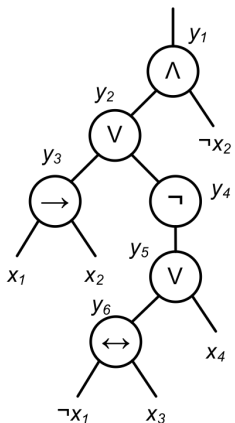
O **primeiro passo** consiste em construir a árvore binária de análise para a expressão ϕ (a associatividade pode ser utilizada para garantir que cada nó terá apenas dois filhos).

Os nós internos são os conectivos lógicos e as folhas são os literais.

Adicionamos uma variável y_i para a saída de cada nó interno.

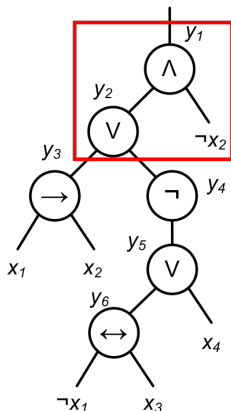


$$\phi = ((x_1 \rightarrow x_2) \vee \neg((\neg x_1 \leftrightarrow x_3) \vee x_4)) \wedge \neg x_2$$



Descrição

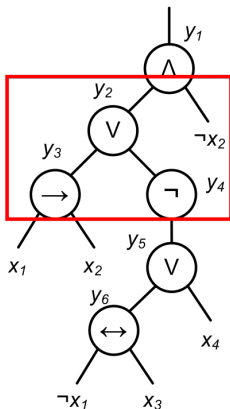
Reescrevemos a fórmula original ϕ como um AND da variável de raiz e uma conjunção de cláusulas descrevendo a operação de cada nó.



Descrição

Reescrevemos a fórmula original ϕ como um AND da variável de raiz e uma conjunção de cláusulas descrevendo a operação de cada nó.

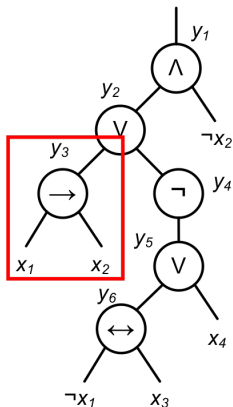
$$\phi^1 = y_1 \wedge (y_1 \leftrightarrow (y_2 \wedge \neg x_2))$$



Descrição

Reescrevemos a fórmula original ϕ como um AND da variável de raiz e uma conjunção de cláusulas descrevendo a operação de cada nó.

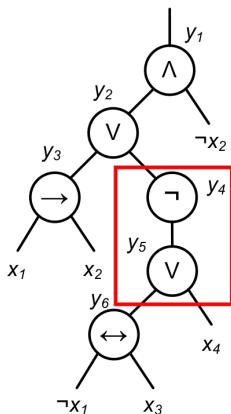
$$\begin{aligned}\phi^1 = & y_1 \wedge (y_1 \leftrightarrow (y_2 \wedge \neg x_2)) \\ & \wedge (y_2 \leftrightarrow y_3 \vee y_4)\end{aligned}$$



Descrição

Reescrevemos a fórmula original ϕ como um AND da variável de raiz e uma conjunção de cláusulas descrevendo a operação de cada nó.

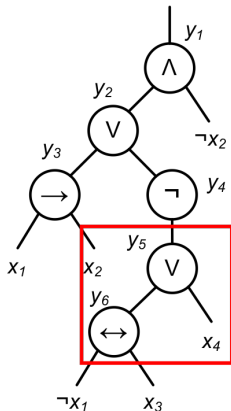
$$\begin{aligned}\phi^1 = & y_1 \wedge (y_1 \leftrightarrow (y_2 \wedge \neg x_2)) \\ & \wedge (y_2 \leftrightarrow y_3 \vee y_4) \\ & \wedge (y_3 \leftrightarrow (x_1 \rightarrow x_2))\end{aligned}$$



Descrição

Reescrevemos a fórmula original ϕ como um AND da variável de raiz e uma conjunção de cláusulas descrevendo a operação de cada nó.

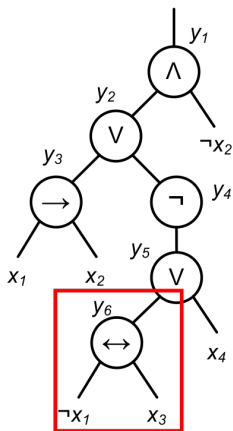
$$\begin{aligned}\phi^1 = & y_1 \wedge (y_1 \leftrightarrow (y_2 \wedge \neg x_2)) \\ & \wedge (y_2 \leftrightarrow y_3 \vee y_4) \\ & \wedge (y_3 \leftrightarrow (x_1 \rightarrow x_2)) \\ & \wedge (y_4 \leftrightarrow \neg y_5)\end{aligned}$$



Descrição

Reescrevemos a fórmula original ϕ como um AND da variável de raiz e uma conjunção de cláusulas descrevendo a operação de cada nó.

$$\begin{aligned} \phi^1 = & y_1 \wedge (y_1 \leftrightarrow (y_2 \wedge \neg x_2)) \\ & \wedge (y_2 \leftrightarrow y_3 \vee y_4) \\ & \wedge (y_3 \leftrightarrow (x_1 \rightarrow x_2)) \\ & \wedge (y_4 \leftrightarrow \neg y_5) \\ & \wedge (y_5 \leftrightarrow (y_6 \vee x_4)) \end{aligned}$$



Descrição

Reescrevemos a fórmula original ϕ como um AND da variável de raiz e uma conjunção de cláusulas descrevendo a operação de cada nó.

$$\begin{aligned} \phi^1 = & y_1 \wedge (y_1 \leftrightarrow (y_2 \wedge \neg x_2)) \\ & \wedge (y_2 \leftrightarrow y_3 \vee y_4) \\ & \wedge (y_3 \leftrightarrow (x_1 \rightarrow x_2)) \\ & \wedge (y_4 \leftrightarrow \neg y_5) \\ & \wedge (y_5 \leftrightarrow (y_6 \vee x_4)) \\ & \wedge (y_6 \leftrightarrow (\neg x_1 \leftrightarrow x_3)) \end{aligned}$$

Verificação da Propriedade 2

A expressão ϕ^1 obtida é uma conjunção de cláusulas ϕ_i^1 cada qual com 3 literais.

O único requisito adicional é que cada cláusula seja um OR de literais.

Verificação da Propriedade 2

O **segundo passo** consiste em converter ϕ^1 para a forma normal conjuntiva.

Constrói-se a tabela verdade para cada cláusula, avaliando-se cada combinação de atribuições possível.

Usando as entradas da tabela avaliadas como 0, construímos uma expressão na **forma normal disjuntiva** – um OR de ANDs, equivalente a $\neg\phi_i^1$.

y_1	y_2	x_2	$(y_1 \leftrightarrow (y_2 \wedge \neg x_2))$
1	1	1	0
1	1	0	1
1	0	1	0
1	0	0	0
0	1	1	1
0	1	0	0
0	0	1	1
0	0	0	1

$$(y_1 \wedge y_2 \wedge x_2) \vee (y_1 \wedge \neg y_2 \wedge x_2) \vee (y_1 \wedge \neg y_2 \wedge \neg x_2) \vee (\neg y_1 \wedge y_2 \wedge \neg x_2)$$

Tabela verdade para uma das cláusulas do exemplo.

Verificação da Propriedade 2

Aplicando as leis de DeMorgan, obtemos a expressão na fórmula normal conjuntiva, que é equivalente a ϕ_i^1 original:

$$(\neg y_1 \vee \neg y_2 \vee \neg x_2) \wedge (\neg y_1 \vee y_2 \vee \neg x_2) \wedge (\neg y_1 \vee y_2 \vee x_2) \wedge (y_1 \vee \neg y_2 \vee x_2)$$

Convertemos cada cláusula ϕ_i^1 de ϕ^1 para a CNF, gerando ϕ^2 .

Verificação da Propriedade 2

O **terceiro passo** certifica que cada cláusula possui exatamente 3 literais distintos.

A partir de ϕ^2 criamos ϕ^3 utilizando variáveis auxiliares p e q .

Para cada cláusula C_i de ϕ^2 , incluímos as seguintes cláusulas em ϕ^3 :

- ▶ Se C_i tem 3 literais distintos, inclua como está;
- ▶ Se C_i tem dois literais $(l_1 \vee l_2)$, inclua $(l_1 \vee l_2 \vee p) \wedge (l_1 \vee l_2 \vee \neg p)$;
- ▶ Se C_i tem apenas um literal (l_1) , inclua $(l_1 \vee p \vee q) \wedge (l_1 \vee p \vee \neg q) \wedge (l_1 \vee \neg p \vee q) \wedge (l_1 \vee \neg p \vee \neg q)$.

Verificação da Propriedade 2

O número de variáveis e cláusulas adicionadas é polinomial, o tamanho de ϕ^3 é polinomial no tamanho de ϕ e cada um dos passos pode ser realizado em tempo polinomial.

As expressões ϕ^1 , ϕ^2 e ϕ^3 são equivalentes entre si.

SAT e 3-SAT obtêm as mesmas respostas para uma instância.

Logo, 3-SAT é um problema NP-Completo.

Cobertura de Vértices \leq_p Ciclo Hamiltoniano

Cobertura de Vértices

Uma Cobertura de Vértices (ou Conjunto Dominante) em um grafo não orientado $G=(V, E)$ é um subconjunto V' de V tal que para cada aresta $\{u, v\}$ do grafo G , u ou v pertencem a V' .

A versão de decisão do problema de cobertura de vértices pergunta se existe em um grafo G uma cobertura de vértices (ou conjunto dominante) de tamanho k .

Ciclo Hamiltoniano

Um ciclo hamiltoniano em um grafo não ponderado $G=(V, E)$ consiste em decidir se existe um caminho fechado, ou seja, uma sequência de visitação de vértices e arestas tal que todos os vértices são visitados uma única vez e que ao final retorne ao vértice inicial.

Verificação da Propriedade 1

A solução para o problema é a sequência de $|V|$ vértices.

A verificação determina se de fato existe uma aresta entre cada par de vértices consecutivos e entre o vértice final e o inicial.

Caso todas as adjacências existam, a solução é válida.

A verificação pode ser realizada em tempo polinomial, portanto, Ciclo Hamiltoniano \in NP.

Verificação da Propriedade 2

A partir de um grafo $G=(V, E)$ e um inteiro k , construiremos um grafo $G'=(V', E')$ que contem um ciclo Hamiltoniano somente se G possuir uma cobertura de vértices de tamanho k .

Para isso, usaremos um dispositivo que é um fragmento de grafo que impõe algumas propriedades.

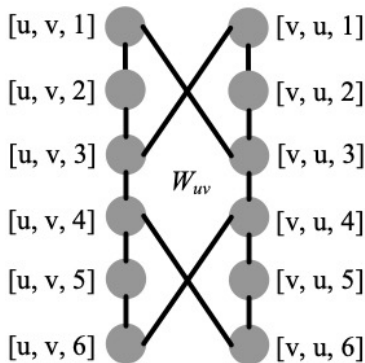
Cobertura de Vértices \leq_p Ciclo Hamiltoniano

Descrição

Para cada aresta $\{u, v\}$ do grafo G , o grafo G' conterá uma cópia deste dispositivo, denotada por w_{uv} .

Cada aresta em w_{uv} é denotada por $[u, v, i]$ ou $[v, u, i]$ em que $1 \leq i \leq 6$

Cada dispositivo w_{uv} contém 12 vértices e 14 arestas.



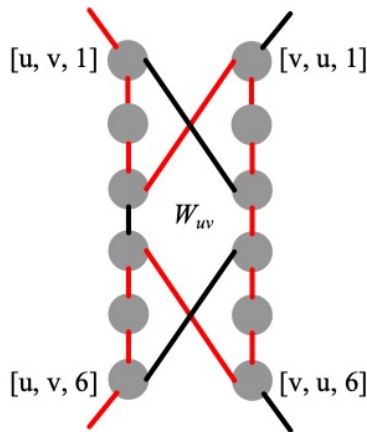
Verificação da Propriedade 2

A relação entre o dispositivo e o grafo G' é pré-determinada

- ▶ Apenas os vértices $[u, v, 1]$, $[u, v, 6]$, $[v, u, 1]$, $[v, u, 6]$ possuem arestas externas ao dispositivo;
- ▶ Qualquer ciclo Hamiltoniano em G' percorrerá as arestas do dispositivo;
- ▶ Só existem 3 casos.

Cobertura de Vértices \leq_p Ciclo Hamiltoniano

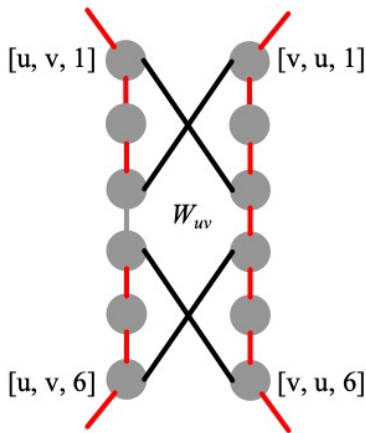
Se o ciclo passar pelo vértice $[u, v, 1]$, ele deve sair pelo vértice $[u, v, 6]$ e visitar todos os vértices do dispositivo.



Cobertura de Vértices \leq_p Ciclo Hamiltoniano

Ou visitar apenas os 6 vértices de $[u, v, 1]$ a $[u, v, 6]$.

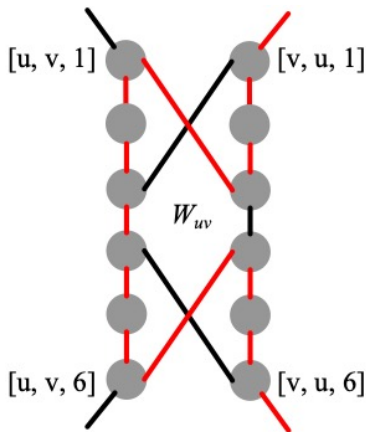
Neste caso, o ciclo deverá entrar novamente no dispositivo para visitar os demais vértices.



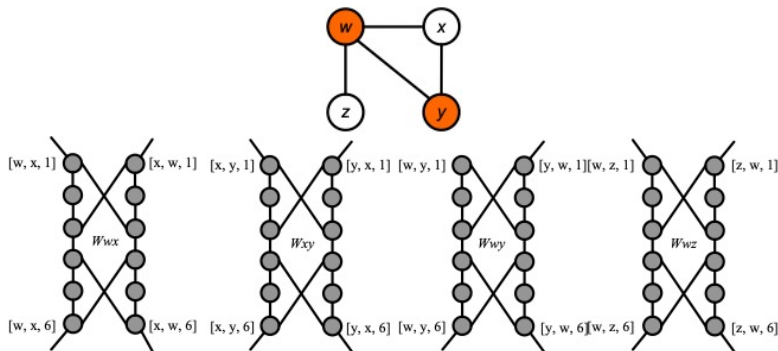
Cobertura de Vértices \leq_p Ciclo Hamiltoniano

De forma semelhante, se o ciclo entrar pelo vértice $[v, u, 1]$, deverá sair pelo vértice $[v, u, 6]$ e visitar todos os 12 vértices do dispositivo.

Ou os 6 vértices, de $[v, u, 1]$ a $[v, u, 6]$, conforme a figura anterior.



Cobertura de Vértices \leq_p Ciclo Hamiltoniano

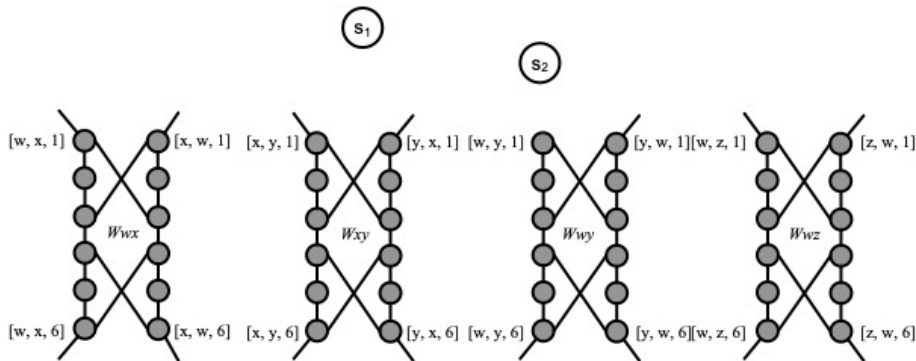


Cobertura de Vértices \leq_p Ciclo Hamiltoniano

Verificação da Propriedade 2

Além dos vértices dos dispositivos, adicionamos a V' vértices seletores $s_1, s_2, s_3, \dots, s_k$.

As arestas incidentes a vértices seletores serão utilizadas para selecionar os k vértices da cobertura.



Verificação da Propriedade 2

Existem ainda dois outros tipos de arestas em E' .

Para cada vértice u pertencente a V , são arestas que unem pares de dispositivos.

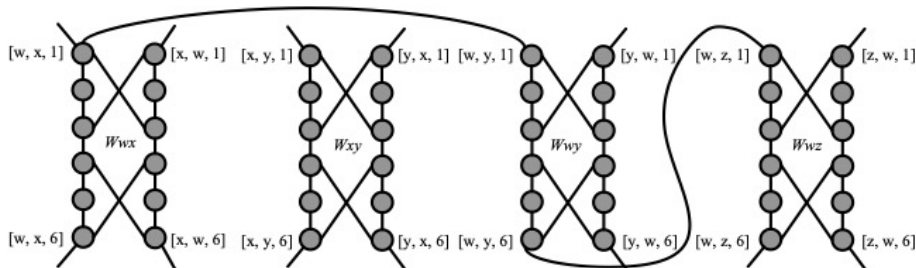
Formando um caminho que possui todos os dispositivos correspondentes a arestas incidentes sobre u .

Os vértices incidentes a u são arbitrariamente ordenadas e então criamos um caminho passando por todos os dispositivos relacionados, adicionando os vértices a E' .

Verificação da Propriedade 2

Suponha que ordenamos os vizinhos de w como x, y e z .

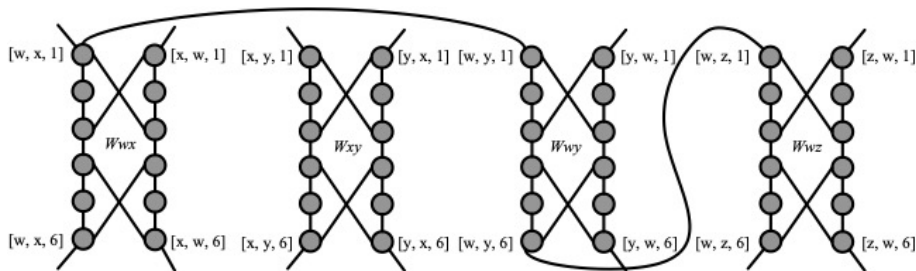
Adicionamos as arestas $\{[w, x, 6], [w, y, 1])$ e $([w, y, 6], [w, z, 1])\}$.



Cobertura de Vértices \leq_p Ciclo Hamiltoniano

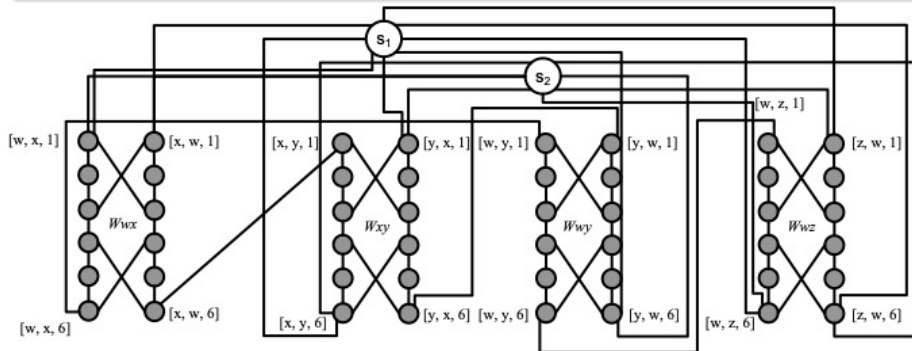
Verificação da Propriedade 2

A idéia é: se selecionarmos um vértice u de G na cobertura de vértices, podemos “cobrir” todos os dispositivos relacionados às arestas incidentes a u através de um caminho em G' .



Verificação da Propriedade 2

O segundo tipo de aresta une o primeiro e o último vértices de cada um desses caminhos a cada um dos vértices seletores.



Verificação da Propriedade 2

Pode ser provado que o tamanho de G' é polinomial no tamanho de G .

Consequentemente, G' pode ser construído em tempo polinomial.

São adicionados

- ▶ $\leq 12|E| + |V|$ vértices;
- ▶ $2|E| - |V|$ arestas;
- ▶ O número total de arestas em G' é então $\leq 16|E| + (2|V| - 1)|V|$.

Verificação da Propriedade 2

Por que funciona?

Suponha que $G=(V, E)$ possui uma cobertura de vértices de tamanho k .

Formamos um ciclo Hamiltoniano em G incluindo as arestas a seguir para cada vértice u_j da cobertura de vértices

- ▶ Seja s_j um vértice seletor com $1 \leq j \leq k$.
- ▶ Sejam ainda u_j^i os vértices vizinhos de u_j , em uma ordenação arbitrária, com $1 \leq i \leq d(u_j)$ e $1 \leq j \leq k$.

$$\begin{aligned} & \{s_j, [u_j, u_j^{(i)}, 1] : 1 \leq j \leq k\} \\ & \cup \{s_{j+1}, [u_j, u_j^{d(u_j)}, 6] : 1 \leq j \leq k-1\} \\ & \cup \{s_1, [u_k, u_k^{d(u_k)}, 6]\}. \end{aligned}$$

Verificação da Propriedade 2

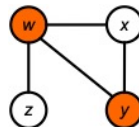
Incluimos as arestas da forma $\{([u_j, u_j^{(i)}, 6], [u_j, u_j^{(i+1)}, 6]): 1 \leq i \leq d(j)\}$ que conectam os dispositivos.

Também incluimos as arestas dos dispositivos, de acordo com um dos 3 casos de visitação e se a aresta é coberta mais de uma vez.

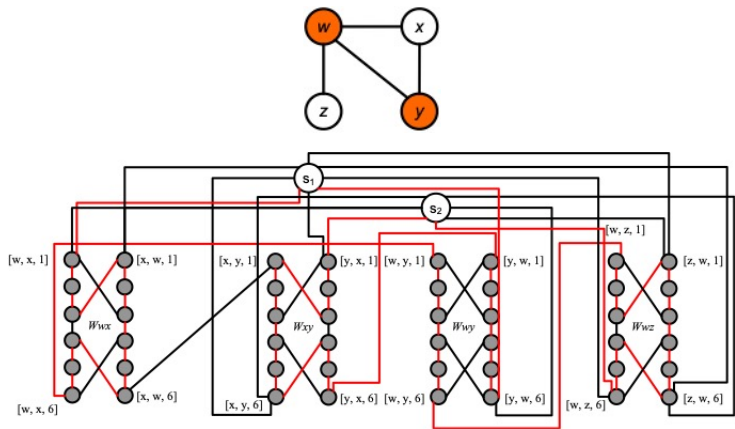
O slide a seguir apresenta o que temos para o grafo de exemplo.

Cobertura de Vértices \leq_p Ciclo Hamiltoniano

- ▶ $(S_1, [w, x, 1]);$
- ▶ $(S_1, [y, w, 6]);$
- ▶ $(S_2, [y, x, 1]);$
- ▶ $(S_2, [w, z, 6]);$
- ▶ $([y, x, 6], [y, w, 1]);$
- ▶ $([w, y, 6], [w, z, 1]);$
- ▶ $([w, x, 6], [w, y, 1]).$



Cobertura de Vértices \leq_p Ciclo Hamiltoniano



3-SAT

O 3-SAT é um caso especial do SAT, em que cada cláusula contém exatamente 3 literais. Adicionalmente, a expressão está na Forma Normal Conjuntiva (CNF): agrupamentos AND de cláusulas, cada uma sendo um OR de um ou mais literais.

O 3-SAT é um problema NP-Completo, uma vez que $\text{SAT} \leq_p \text{3-SAT}$.

Subset Sum

Dado um conjunto (ou multiconjunto) de números inteiros, determinar se há um subconjunto não vazio cuja soma seja exatamente s .

Verificação da Propriedade 1

A solução para o problema é um conjunto S' , subconjunto de S .

Caso S' seja de fato um subconjunto de S , e a soma dos elementos de S' seja igual a t , a solução é válida.

A verificação pode ser realizada em tempo polinomial, portanto, Soma de Subconjuntos $\in \text{NP}$.

Verificação da Propriedade 2

Para transformarmos uma instância do 3-SAT, fazemos duas suposições simplificadoras sobre Φ :

- ▶ Nenhuma cláusula contém ao mesmo tempo uma variável e sua negação.
- ▶ Cada variável aparece em pelo menos uma cláusula. Caso contrário seria inútil uma atribuição para ela.

Verificação da Propriedade 2

Para cada variável x_i , são criados dois números em S .

Para cada cláusula C_j , são criados dois números em S .

Os números são representados na base 10, e cada um contém $n + k$ dígitos.

Cada dígito corresponde a uma variável ou cláusula.

A base 10 impede o transporte de dígitos mais baixos para dígitos mais altos.

3-SAT \leq_p Soma de Subconjuntos

Cada dígito corresponde a uma variável ou cláusula.

Os k dígitos menos significativos são representam as cláusulas.

Os k dígitos mais significativos representam as variáveis.

O destino t tem valor 1 em cada dígito referente uma variável e valor 4 em cada dígito referente a uma cláusula.

		x_1	x_2	x_3	C_1	C_2	C_3	C_4
v_1	=	1	0	0	1	0	0	1
v'_1	=	1	0	0	0	1	1	0
v_2	=	0	1	0	0	0	0	1
v'_2	=	0	1	0	1	1	1	0
v_3	=	0	0	1	0	0	1	1
v'_3	=	0	0	1	1	1	0	0
t	=	1	1	1	4	4	4	4

3-SAT \leq_p Soma de Subconjuntos

Para cada variável x_i , existem dois inteiros, v_i e v'_i em S .

Cada um tem valor 1 no dígito referente à variável correspondente e 0 nos dígitos de outras variáveis.

Se o literal x_i aparece na cláusula C_j , então o dígito que identifica C_j em v_i tem valor 1.

		x_1	x_2	x_3	C_1	C_2	C_3	C_4
v_1	=	1	0	0	1	0	0	1
v'_1	=	1	0	0	0	1	1	0
v_2	=	0	1	0	0	0	0	1
v'_2	=	0	1	0	1	1	1	0
v_3	=	0	0	1	0	0	1	1
v'_3	=	0	0	1	1	1	0	0
t	=	1	1	1	4	4	4	4

3-SAT \leq_p Soma de Subconjuntos

Se o literal $\neg x_i$ aparecer na cláusula C_j , então o dígito identificado por C_j em x'_i tem valor 1.

Em todas os outros dígitos identificados por cláusulas, v_i e v'_i têm valor 0.

Todos os valores v_i e v'_i são diferentes.

Bits menos significativos são diferentes.

		x_1	x_2	x_3	C_1	C_2	C_3	C_4
v_1	=	1	0	0	1	0	0	1
v'_1	=	1	0	0	0	1	1	0
v_2	=	0	1	0	0	0	0	1
v'_2	=	0	1	0	1	1	1	0
v_3	=	0	0	1	0	0	1	1
v'_3	=	0	0	1	1	1	0	0
t	=	1	1	1	4	4	4	4

3-SAT \leq_p Soma de Subconjuntos

Para cada cláusula C_j , existem dois inteiros s_j e s'_j em S .

Cada s_j possui valor 1 no dígito identificado por C_j .

Cada s'_j possui valor 2 no dígito identificado por C_j .

Possuem valor 0 em todos os dígitos além do dígito identificado por C_j .

		x_1	x_2	x_3	C_1	C_2	C_3	C_4
v_1	=	1	0	0	1	0	0	1
v'_1	=	1	0	0	0	1	1	0
v_2	=	0	1	0	0	0	0	1
v'_2	=	0	1	0	1	1	1	0
v_3	=	0	0	1	0	0	1	1
v'_3	=	0	0	1	1	1	0	0
s_1	=	0	0	0	1	0	0	0
s'_1	=	0	0	0	2	0	0	0
s_2	=	0	0	0	0	1	0	0
s'_2	=	0	0	0	0	2	0	0
s_3	=	0	0	0	0	0	1	0
s'_3	=	0	0	0	0	0	2	0
s_4	=	0	0	0	0	0	0	1
s'_4	=	0	0	0	0	0	0	2
t	=	1	1	1	4	4	4	4

3-SAT \leq_p Soma de Subconjuntos

$S = \{ 1001001, 1000110, 0100001, 0101110, 0010011, 0011100, 0001000, 0002000, 0000100, 0000200, 0000010, 0000020, 0000001, 0000002 \}$
 $t = 1114444.$

		x_1	x_2	x_3	C_1	C_2	C_3	C_4
v_1	=	1	0	0	1	0	0	1
v'_1	=	1	0	0	0	1	1	0
v_2	=	0	1	0	0	0	0	1
v'_2	=	0	1	0	1	1	1	0
v_3	=	0	0	1	0	0	1	1
v'_3	=	0	0	1	1	1	0	0
s_1	=	0	0	0	1	0	0	0
s'_1	=	0	0	0	2	0	0	0
s_2	=	0	0	0	0	1	0	0
s'_2	=	0	0	0	0	2	0	0
s_3	=	0	0	0	0	0	1	0
s'_3	=	0	0	0	0	0	2	0
s_4	=	0	0	0	0	0	0	1
s'_4	=	0	0	0	0	0	0	2
t	=	1	1	1	4	4	4	4

3-SAT \leq_p Soma de Subconjuntos

$S = \{ 1001001, 1000110, 0100001, 0101110, 0010011, 0011100, 0001000, 0002000, 0000100, 0000200, 0000010, 0000020, 0000001, 0000002 \}$

$t = 1114444$.

$S' = v_1', v_2', v_3;$

Adiciona-se o valor das variáveis s_i e s'_i para totalizar o valor 4 em cada coluna.

		x_1	x_2	x_3	C_1	C_2	C_3	C_4
v_1	=	1	0	0	1	0	0	1
v'_1	=	1	0	0	0	1	1	0
v_2	=	0	1	0	0	0	0	1
v'_2	=	0	1	0	1	1	1	0
v_3	=	0	0	1	0	0	1	1
v'_3	=	0	0	1	1	1	0	0
s_1	=	0	0	0	1	0	0	0
s'_1	=	0	0	0	2	0	0	0
s_2	=	0	0	0	0	1	0	0
s'_2	=	0	0	0	0	2	0	0
s_3	=	0	0	0	0	0	1	0
s'_3	=	0	0	0	0	0	2	0
s_4	=	0	0	0	0	0	0	1
s'_4	=	0	0	0	0	0	0	2
t	=	1	1	1	4	4	4	4

3-SAT \leq_p Soma de Subconjuntos

Verificação da Propriedade 2

Por que funciona?

Suponha que Φ possua uma atribuição satisfatória

Para cada variável $x_i=1$, incluímos, v_i em S' , caso contrário incluímos v'_i ;

Em outras palavras, incluímos em S' os literais com valor 1.

Desta forma, teremos o valor 1 na soma de cada dígito referente às variáveis

Correspondendo ao valor dos dígitos de t .

Como cada cláusula é satisfeita, a soma de cada dígito correspondente é pelo menos 1;

Completamos a soma até quatro usando o valor das variáveis s_i e s'_i correspondentes.

Verificação da Propriedade 2

A transformação pode ser realizada em tempo polinomial.

O conjunto S possui $2n + 2k$ valores, cada qual com $n + k$ dígitos.

Cada valor pode ser construído em tempo polinomial de $n + k$.

O destino t tem $n + k$ dígitos, e é produzido em tempo constante.

Verificação da Propriedade 2

Se G possuir uma atribuição satisfatória, então Soma de Subconjuntos possui um subconjunto cuja soma seja t .

3-SAT e Soma de Subconjuntos obtêm as mesmas respostas para a mesma instância, logo, Soma de Subconjuntos \in NP-Completo.